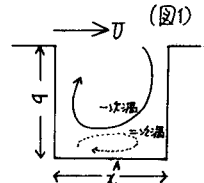


東京大学工学部 学生員 ○福島武彦
東京大学工学部 正員 松尾友矩

1. まえがき

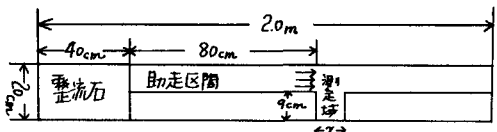
河川・港湾における木質汚濁及び Street Canyon の大気汚染などの基本モデルとして、凹形領域での拡散の問題を考えた。図1に示すような凹形領域において、底部中央 Aより線源として物質を放出して、形状(b/x), 外流流速Vを変化させたときの領域内での速度・濃度分布を水路実験により求め、また有限要素法を用いて拡散計算を行い、拡散係数のオーダーを推定した。



(図1)

2. 実験方法

実験水路の概略を図2に示す。形状変化として、Xを $X=5.0, 10.0, 15.0, 19.5\text{ cm}$ に変化させ、また外流流速V側面壁前断面での流速の断面平均 $\bar{U}_1=35.6, \bar{U}_2=20.2, \bar{U}_3=14.7\text{ cm/sec}$ として実験を行った。測定域での流速分布は水中に含まれた空気泡の子真撮影により求めた。また拡散濃度分布は $\frac{1}{2}\text{点} \pm 0.05\text{ N NaCl 溶液 (比重 1.004)}$ を線源として注入し、その電導度の変化を測定域内6点、10点(\bar{U}_1, \bar{U}_2 については水深方向に2所)で白金センサーを用いて測定した。



(図2)

3. 実験結果

(表1)

Type $X(\text{cm})$	Velocity V	\bar{C}_{sat}	$k_2(\text{sec})$	$k_1(\text{sec})$	$k'_1(\text{sec})$	$\sqrt{k_1}$ 平均
5.0	\bar{U}_1	231×10^{-4}	13.1×10^{-2}	7.0×10^{-2}	8.7×10^{-2}	7.1×10^{-2}
	\bar{U}_2	262	11.5	5.2	6.5	7.9
	\bar{U}_3	5.15	5.9	2.9	3.4	8.2
10.0	\bar{U}_1	1.22	11.4	7.8	8.0	7.9
	\bar{U}_2	1.31	10.6	5.9	6.3	7.6
	\bar{U}_3	2.47	5.6	4.0	3.9	8.4
15.0	\bar{U}_1	0.83	11.3	6.4	7.5	7.3
	\bar{U}_2	1.05	8.9	5.3	6.1	8.8
	\bar{U}_3	1.78	5.3	3.4	3.9	8.7
19.5	\bar{U}_1	0.59	12.1	5.6	6.8	11.5
	\bar{U}_2	0.80	8.7	5.2	7.3	12.0
	\bar{U}_3	1.55	4.6	3.5	3.7	8.5

$$\bar{C}_{\text{sat}} = \text{mol/l} / 0.05\text{ N NaCl} - 0.025\text{ mol/sec-cm}$$

$V = b \times x$ (xは単位長さ), $Q = \text{NaCl}$ の単位時間・単位深さ当たりの注入量と示され、このとき k_2, k_1, k'_1 は次のようになるからである。

走常状態では

$$V \bar{C}_{\text{sat}} k_2 = Q \quad (1)$$

また \bar{C}_{sat} を初期状態として、 $T=0$ にて NaCl の注入を停止したとすれば $\bar{C}(t) = \bar{C}_{\text{sat}} e^{-k_2 t}$ となり

$$k_2 = \ln 2 / T_{\frac{1}{2}}, \quad k'_1 = \ln 5 / T_{\frac{1}{2}} \quad (2)$$

各形状外流流速における k_2, k_1, k'_1 の値を表1に示す。ここで(2)より k_2 の計算を行った際、 \bar{C}_{sat} は子真撮影の結果、木々の内での外流による一次渦の占める領域での測定結果の単純平均とした。つまり後に述べるように二次渦の発生した $X=5.0\text{ cm}$ の \bar{U}_3, \bar{U}_2 の場合には、木々の内底部に生じた二次渦領域での高濃度な測定値を \bar{C}_{sat} 含まれていない。他の場合には \bar{C}_{sat} ほぼ木々の内全域平均となる。これら k_2, k'_1 についても同様である。

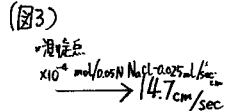
表1より $k_2(k_1, k'_1)$ は形状によらず、ほぼ外流流速により決定されると思われる。これは以下のように説明される。

外流流速により本、フス上部 = Mixing layer が形成されると考えると、この時外流によると本。

フス内流体の引き出し速度は Abramovich により $\bar{U}_e = 0.043 \times D$ と与えられるので。

$$V \cdot \bar{C}_{sat} \cdot k_2 \approx \bar{C}_{sat} \times \bar{U}_e \times L \quad (4)$$

として k_2 が推定できる。各外流流速に対し推定値を k_2^{pre} と表わせば $k_2^{pre}(D) = 17.0 \times 10^{-2}$, $k_2^{pre}(D_s) = 1.7 \times 10^2$, $k_2^{pre}(D_s) = 7.0 \times 10^2$ となり表1の実験値とよい一致を示す。これにより本、フス内での流れの状態が一次渦に支配されるときは、外流流速が与えられれば本、フス内の平均濃度は、外流による運行(Entrainment)という概念を用いて予測できるといえる。しかし二次渦が生じる場合には、図3に示すように本、フス底部に極端な高濃度領域を生じる。これは表1において本来、1となるべき k_1/k_2 , k_1/k_2 が $L=5.0\text{cm} \sim D_2, D_3$ の場合、他に比べ小さな値となっていることからも明らかである。4次元解析においてもこの高濃度域は予測された。このように二次渦が生じる形状外流流速の場合には、運行を用いての濃度推定は一次渦領域上のみ適用され、二次渦領域には別の予測法が必要である。



4. 数値解析

二次元拡散方程式(5)を Galerkin 有限要素法で差分化し、以下の条件で解いた。

$$\frac{\partial \bar{C}}{\partial t} + \bar{u} \frac{\partial \bar{C}}{\partial x} + \bar{v} \frac{\partial \bar{C}}{\partial y} = \frac{\partial}{\partial x} \left\{ (D_m + K) \frac{\partial \bar{C}}{\partial x} \right\} + \frac{\partial}{\partial y} \left\{ (D_m + K) \frac{\partial \bar{C}}{\partial y} \right\} \quad (5)$$

(1) $\frac{\partial \bar{C}}{\partial t} = 0$ とした定常問題及び $\frac{\partial \bar{C}}{\partial t} = (\bar{C}_{it} - \bar{C}_{it-t})/At$ として定常問題の解と初期条件とした初期値問題

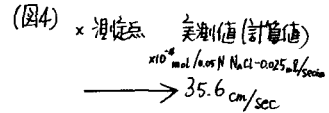
(2) (\bar{u}, \bar{v}) は予測より求めた流速分布を用いた。

(3) Shape function 2次、全 Node 数 127、全 Element 数 52

(4) 拡散係数 D_m, K の与え方 (a) $K=0$ とし $D_m = 1.5 \times 10^{-5}, 0.25, 0.5, 1.0, 2.0 [\text{cm}^2/\text{sec}]$ (b) $D_m = 1.5 \times$

$10^5, 1.0 [\text{cm}^2/\text{sec}]$, $K = (\text{Schmidt 数})^2 \times (\text{Dandoff モデルの湍動粘性係数})^2$, Schmidt 数 = 1.0, 0.5 etc.

形状 $L=10.0\text{cm}$ 、流速 D を基本タイプとして (4) の各種の拡散係数を与えて計算を行った。実験結果と比較した。その結果、図4に示すように $D_m = 1.0$, $K = 1.0 \times (\text{Dandoff モデルの湍動粘性係数})^2$ 程度の拡散係数を与えた時、実験値との対応がよがった。形状外流流速を変化させた場合にも、また初期値問題として k_1, k_2 を計算した場合にも実験値とよい一致を示した。このように拡散係数の与え方が実際濃度を説明した理由は明白ではないが、理論的に予想され $D_m = 1.5 \times 10^{-5} [\text{cm}^2/\text{sec}] + K = 1.0 \times (\text{Dandoff モデル})$ がうまくいかないのは、Dandoff モデルでの普遍粘性係数 C 及びメッシュ幅の与え方に問題があるのかと思われる。ここで $C = D_m + K = 1.0 + (\text{Dandoff モデル}) \approx 1.0 \sim 1.8 [\text{cm}^2/\text{sec}]$ は、Richardson の $4/3$ 法則(実験式 $C[\text{cm}^2/\text{sec}] = 0.009 \times L^{4/3} [\text{ft}^2]$)で拡散スケールとして $L=10\text{cm}$ を用いたときの予測される数値である。



5. あとがき

四角領域での拡散の問題において、運行の概念を用いて、フス内平均濃度が予測され、さらに本、フス内濃度分布が 2 次元拡散方程式に適当な拡散係数を与えることにより推定できることを示した。今後の課題としては、(1) 形状外流流速をさらに変化させ、2 次渦の発生条件形態を明らかにする。また乱流変動成分の測定を行い、四角領域内での乱流構造を求める。(2) 連続式、Navier-Stokes 方程式(湍動粘性係数-Dandoff モデル)を用いての領域内濃度分布を求める計算は、現段階では発散して得られないが、これを収束させることにより 4.(2) の (\bar{u}, \bar{v}) として拡散計算を行う。最後に本研究に対して数々の有益な助言をいただいた中央大学首藤伸光教授、川原謙人助教授に謝意を表します。

参考文献) 1) E.N.Abramovich : The theory of turbulent jets Cambridge 1963

2) J.W.Davidoff; A numerical study of three dimensional turbulent channel flows at large Reynolds numbers J.F.M. Vol.41